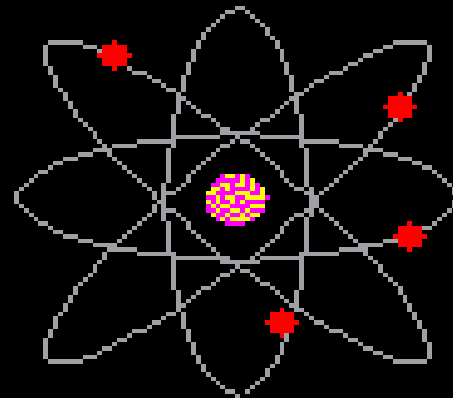
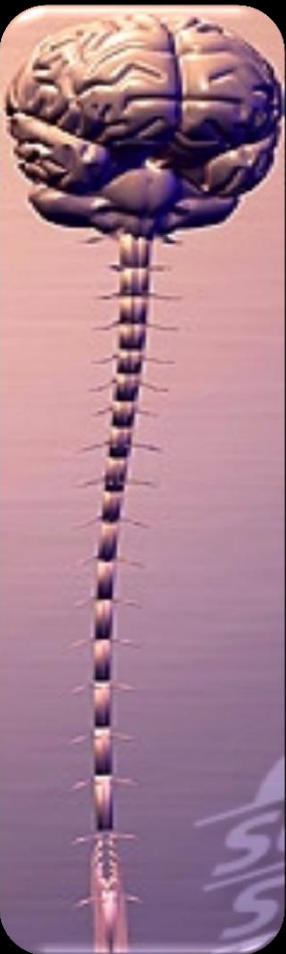


Нуклеарна медицина во неврологија



Проф. д-р Оливија Васкова

Улога и значење за евалуација на болести на ЦНС

Конвенционална радиографија МОРФОЛОГИЈА

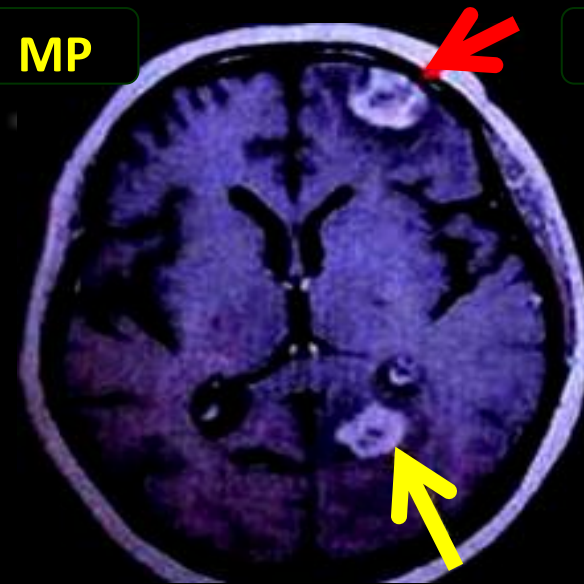
Биохемиски и функционални аномалности на ЦНС

In vivo

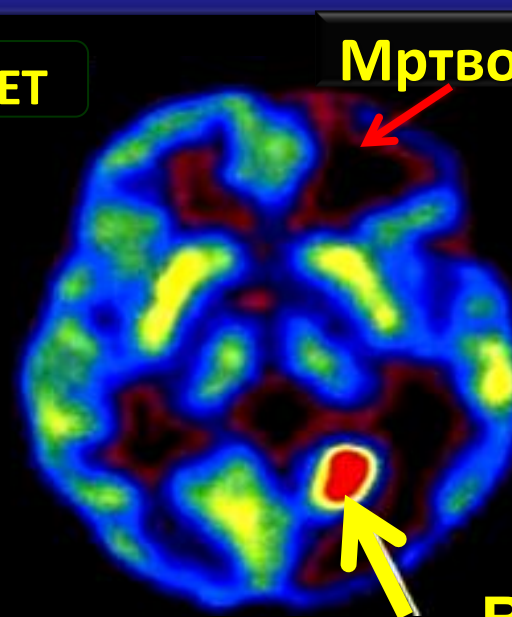
- Мапирање на патол. неврална активност
- Интензитет на метаболни процеси
- Кислородна потрошувачка/екстракција
- Степен на инкорпорација на АК во моз.прот.
- Нарушувања на мозочниот проток на крв
- Сликовен приказ на дистрибуција на неврорецептори
- Испитување на невроналната трансмисија

СТРУКТУРА / ФУНКЦИЈА

МР



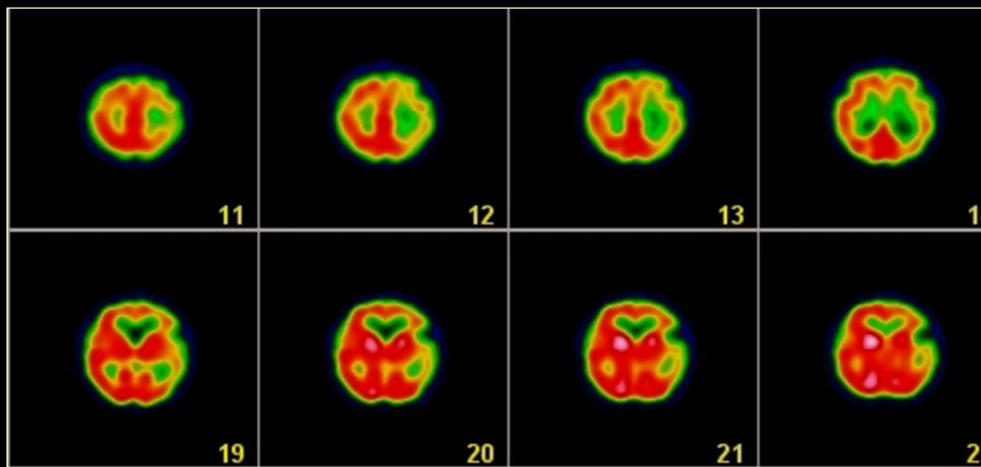
ПЕТ



Мртво ткиво

Витална
метастаза

Која лезија е витална ?



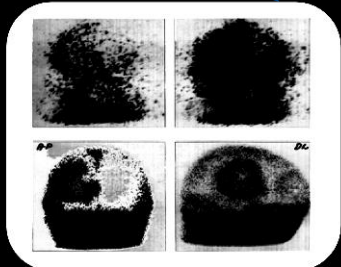
Изотопни истражувања на нервниот систем

1. изотопна ангиографија
2. стандарден скен на мозокот
3. перфузиона мозочна сцинтиграфија
4. SPECT
5. PET
6. радионуклидна цистернографија
7. шантографија

КОМПЛЕМЕНТАРНИ ПОДАТОЦИ

РФП

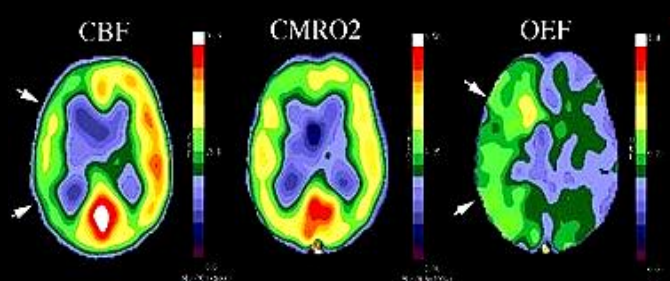
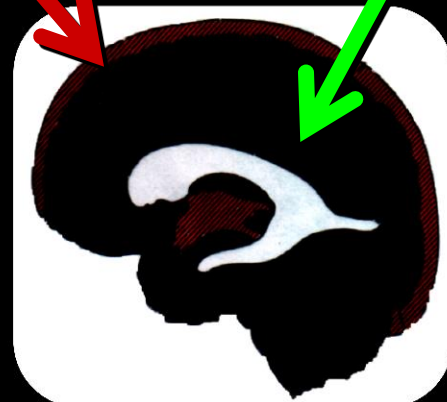
ХИДРОСОЛУБИЛНИ



RNCA

МОЗОЧНА СМРТ

ЛИПОСОЛУБИЛНИ



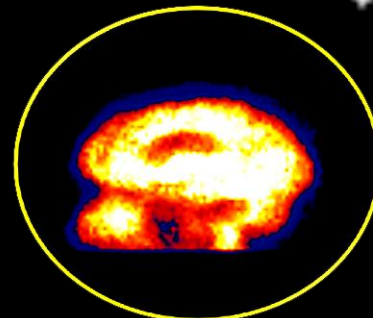
SPECT / PET

1. Трасери за евалуација на мозочен крвен проток

^{99m}Tc -HMPAO

^{99m}Tc -ECD

SPECT



2. Трасери за испитување на регионален мозочен метаболизам

^{201}TI

$^{99\text{m}}\text{Tc}$ -MIBI

$^{18}\text{F-FDG}$

$^{18}\text{F-FLT}$ (деоксифлуоротимидин)

SPECT/CT
PET/CT/NMR

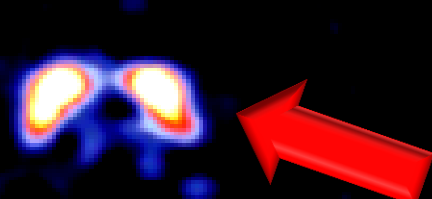
3. Трасери за мапирање на рецепторната дистрибуција



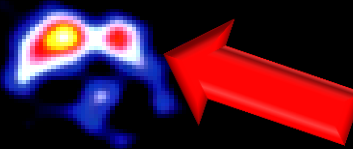
SPECT
PET

Нигростријатална дегенерација

Квантifiцирање на допаминергичниот дефицит



ЗДРАВ



M.PARKINSON

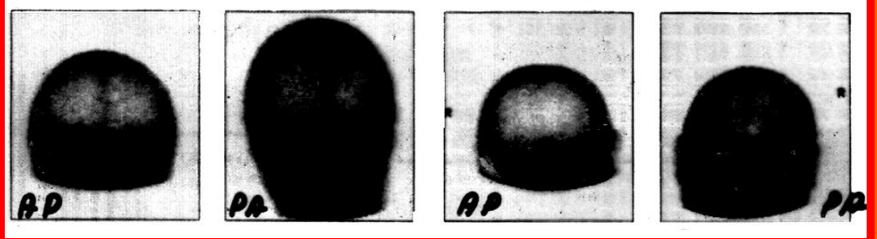
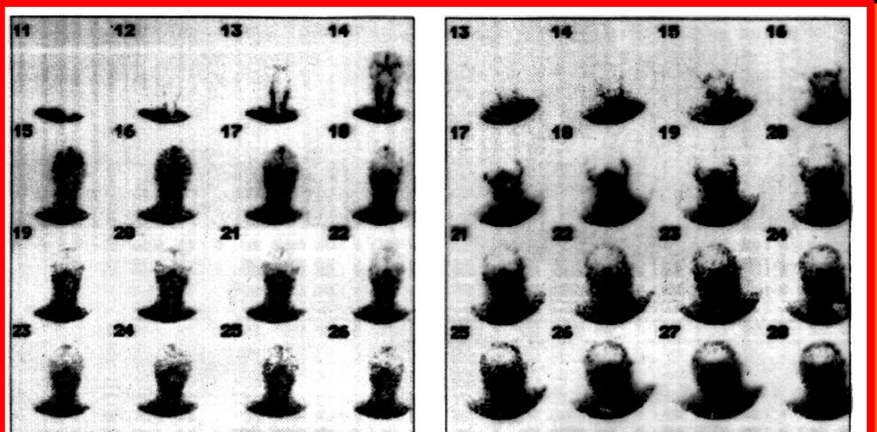
^{99m}Tc -DTPA-РНЦА



ТРАНЗИТ НА РФП НИЗ ГОЛЕМИ МОЗОЧНИ К.САДОВИ

Увид во релативната динамика на **CBF** и состојба на церебрална циркулација

Слики на 1-2 sek: артериска, капиларна венска фаза

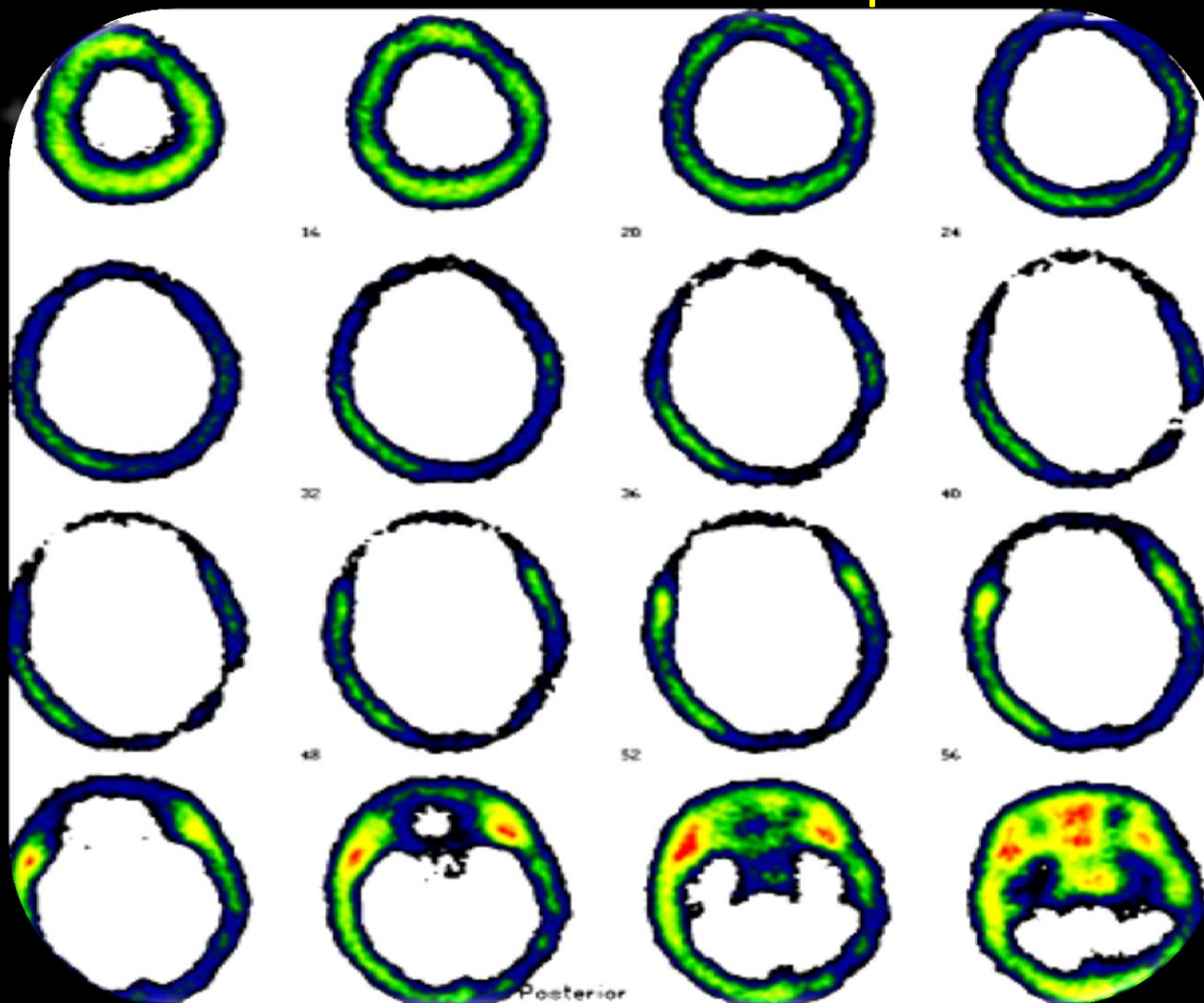


Мозочна смрт

НЕМА ИНТРАЦЕРЕБРАЛЕН артериски,
капиларен и венски тек и не се
визуелизира
s. sagitalis superior

99mTc-НМРАО SPECT

ТРАНСФЕРЗАЛНИ ПРЕСЕЦИ



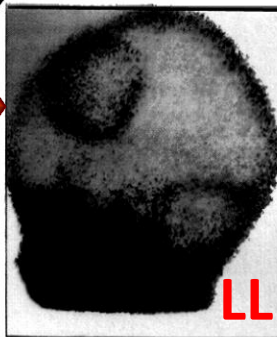
КОНВЕНЦИОНАЛЕН СКЕН НА МОЗОКОТ

НЕСПЕЦИФИЧЕН

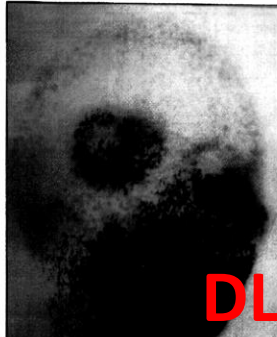
лимфом

inf. a. cer. med.

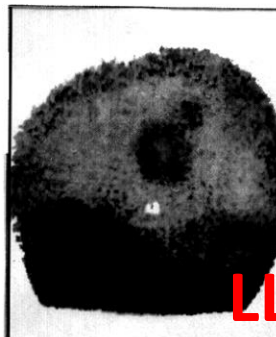
апсцес



ГЛИОМ



МС



NMR

трансмисиона СТ

SPECT- Single Photon Emission Computed Tomography

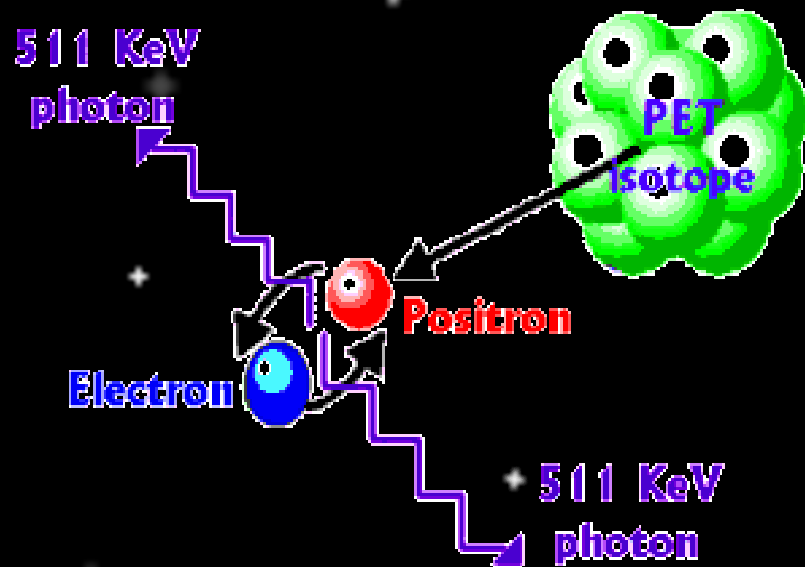
ГАМА ЕМИТЕРИ

PET- Positron Emission Tomography

ПОЗИТРОНСКИ ЕМИТЕРИ

Коинцидентна регистрация на фотони

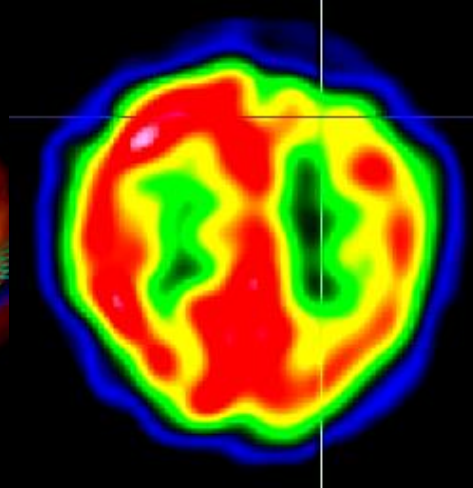
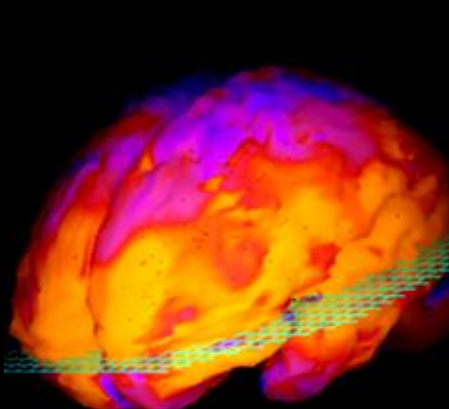
PET



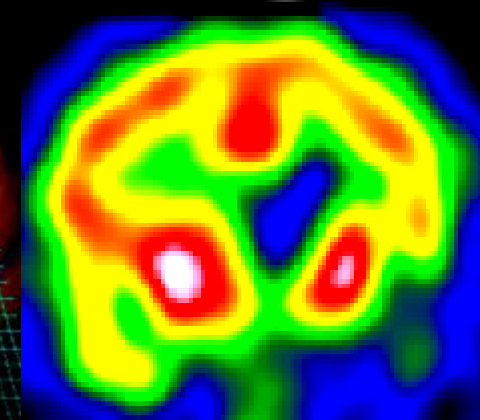
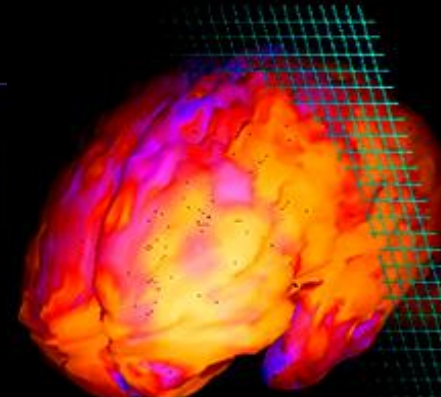
исключително сензитивни: пикомоларни/фемтомоларни конц. на РФП
динамичка аквизиција на релативно брза кинетика

Комјутерска реконструкција на слики на пресеци во 3 рамнини

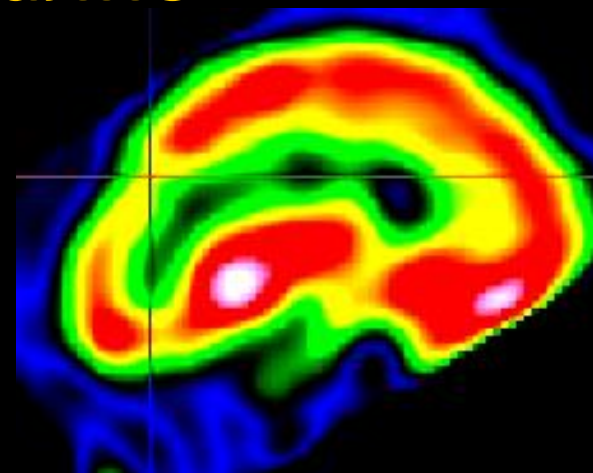
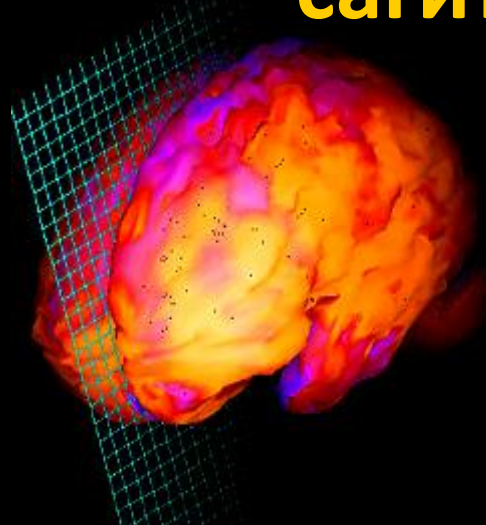
трансферзално



фронтално



сагитално





SPECT-CT/PET-CT

Хибриден модалитет



Сликање на еден апарат, во исто време и во
иста фаза на болеста

Овозможува добивање на функционални
податоци

+ анатомски - структурни карактеристики

Пократка процедура

Дијагностичка точност



Перфузиона сцинтиграфија на мозок

rCBF

^{99m}Tc -HMPAO / ^{99m}Tc -ECD



Компјутерски
софтвер:

Скалдирање

суперпонирање

Споредување со

CT и NMR

Просторна резолуција 6-7 mm

Индикации за ПСМ



- Цереброваскуларни нарушувања
- Деменции
- Епилепсија
- Мозочна траума
- Мозочна смрт



Л Е
К с
т е
н з
и в
н а

х и
п о
п

е
р

ф

у

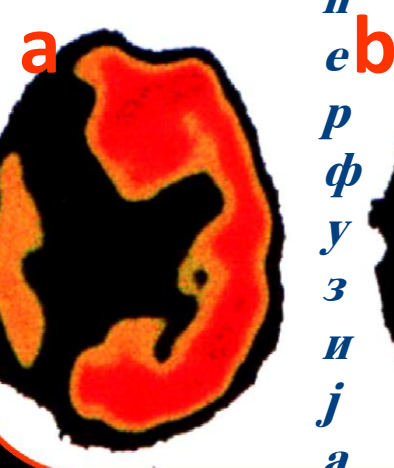
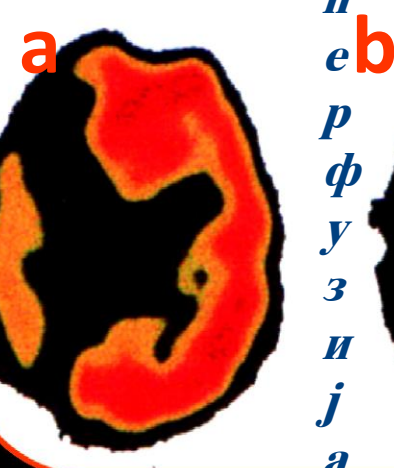
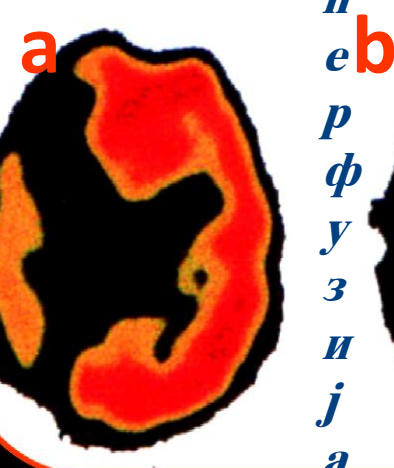
з

и

ј а



a



инфаркција на а. сер. post.

Намалена перфузија десно
Окципитално и темпорално
и во регија на визуелниот кортекс

инфаркција на а.сер. med.

- a. Испад во париетален лоб и базални ганглии
- b. Испад во темпорален лоб

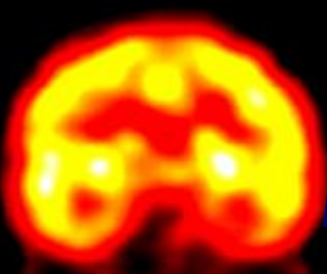
Екстензивна хипоперфузија
непосредно по атак видливо
 $24-48^h$ пред СТ

ЕПИЛЕПСИЈА

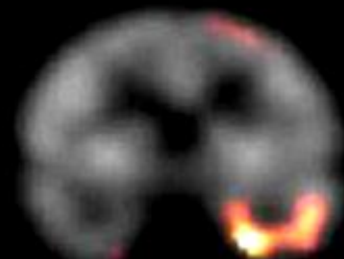
^{99m}Tc НМРАО



Во тек на
напад



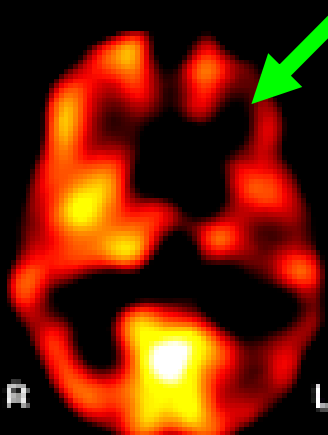
Без напад



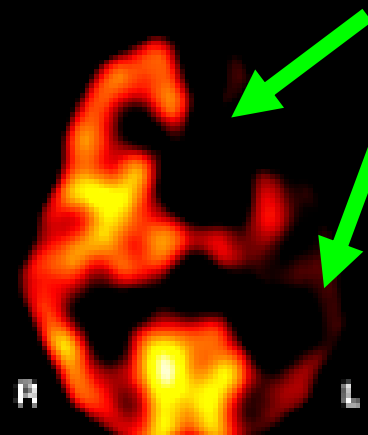
Корегистрација
со НМР

Пред ангиопластика

^{99m}Tc НМРАО - SPECT

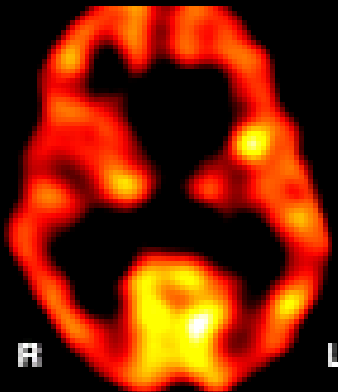


Пред Diamox

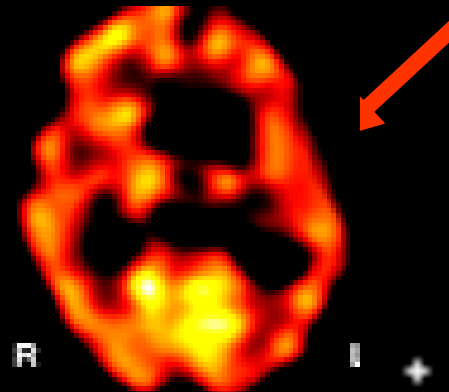


По Diamox

По ангиопластика



Пред Diamox

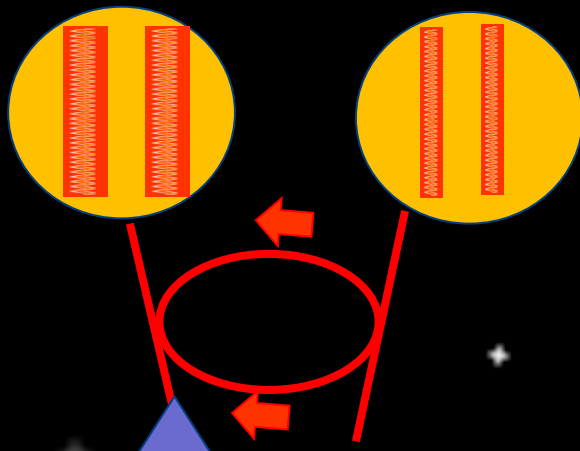
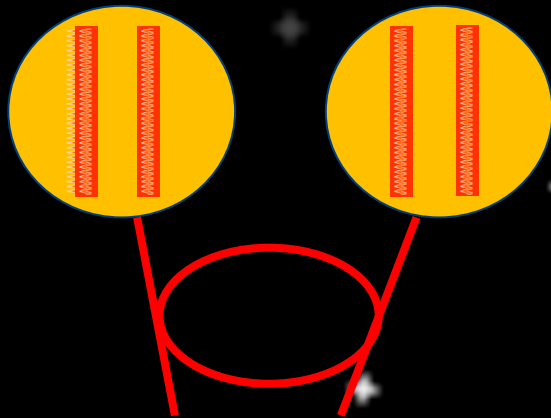


По Diamox

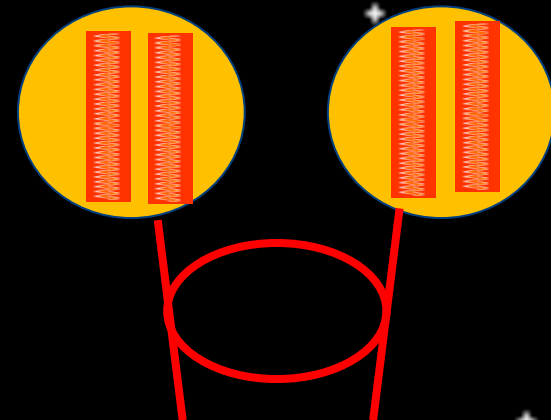
Пред оптоварување

По ацеталозамид

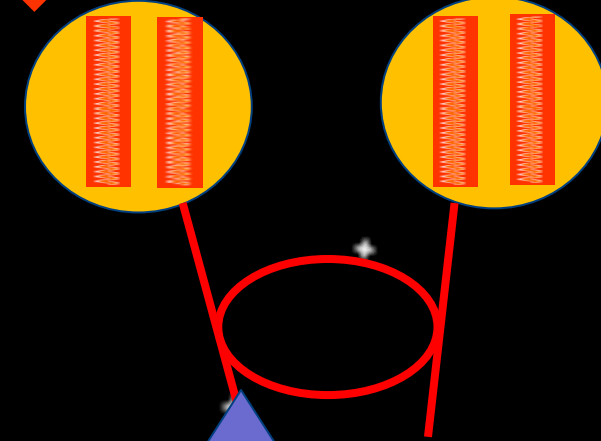
здрав



↑ рМП 20-60 %

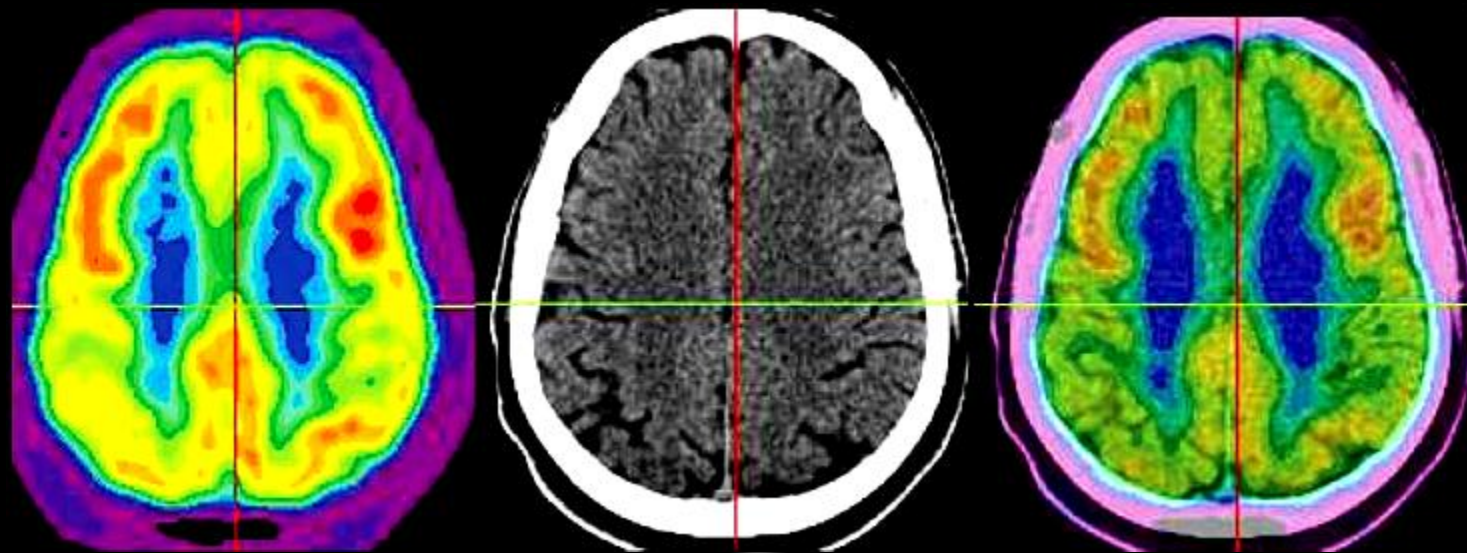


↓↔↑ рМП ↑



со оклузија на а. carotis

PET/CT во евалуација на Alzheimer



FDG-PET

СТ

PET+CT

Билатерален кортикален хипометаболизам без кортикална атрофија

Хомозиготи за **АРОЕ-ε4** алел

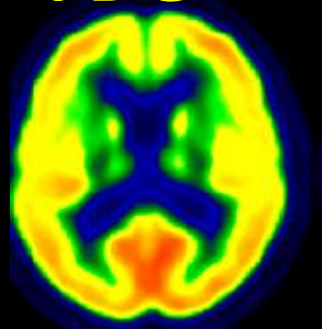
Ризик стратификација заедно со др. биомаркери

Голем ризик за Alzheimer-ова болест

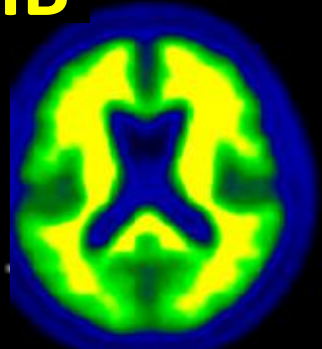
In vivo депозиција на β амилоидни пласти

PET

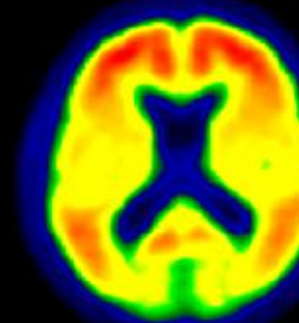
^{18}F -FDG



КОНТРОЛА
PIB

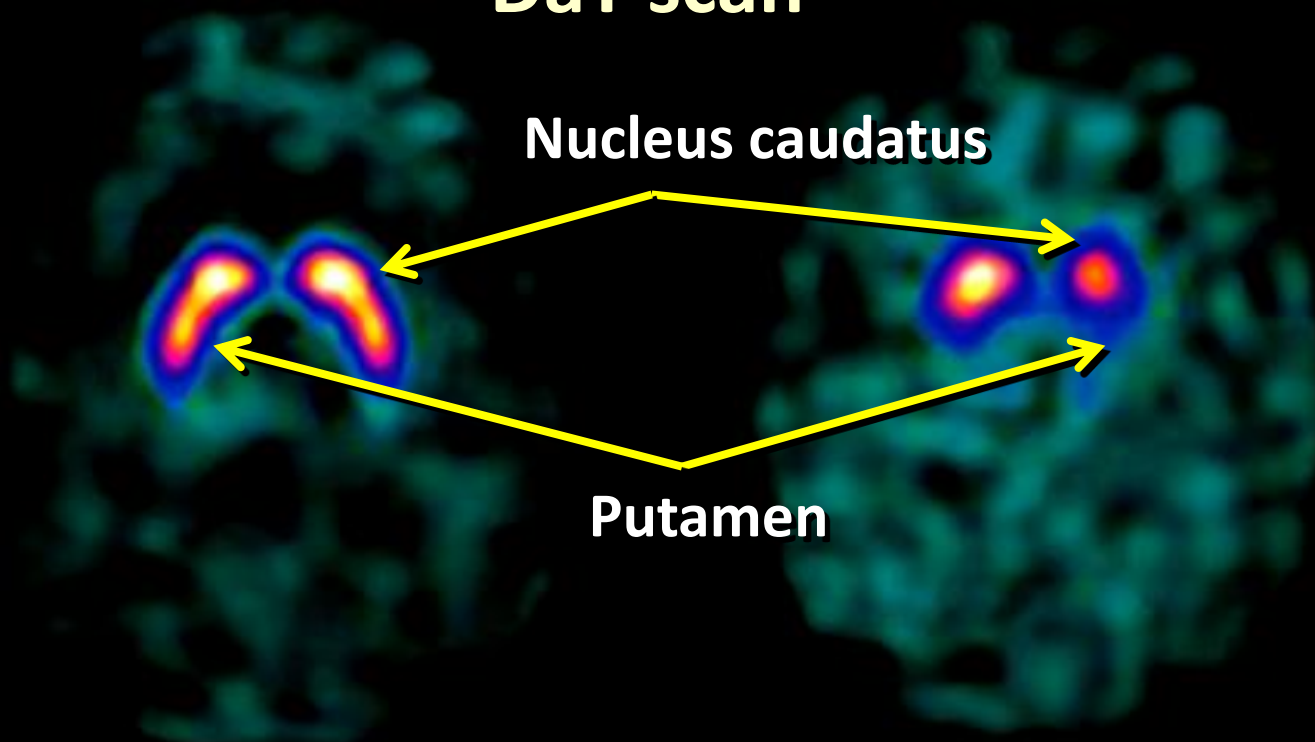


Alzheimer



Сликање на допаминергичен систем

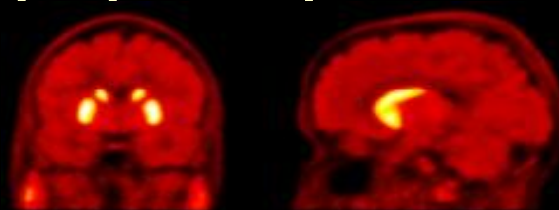
DaT scan



Здрав

M. Parkinson

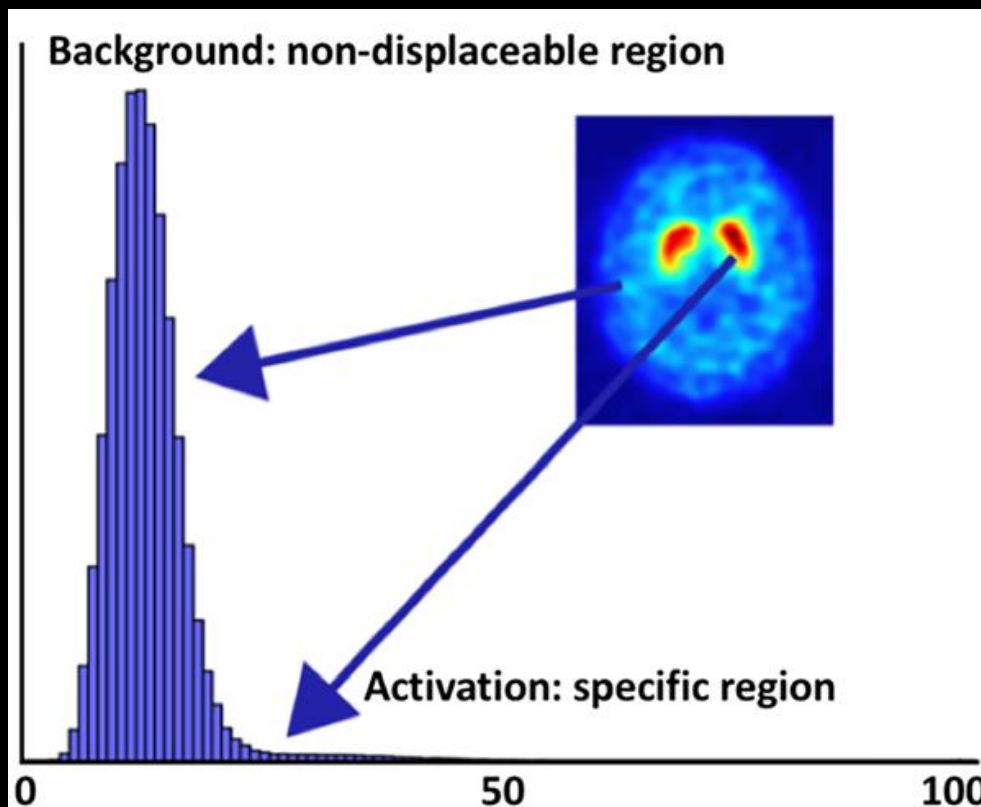
DaT Scan овозможува мерење на пресинаптичкиот допамински транспортер во нервните завршетоци



Mol Imaging Biol (2019)

Quantitative Intensity Harmonization of Dopamine Transporter SPECT Images Using
Gamma Mixture Models

СТАНДАРДИЗАЦИЈА НА ИНТЕЗИТЕТОТ НА DAT СКЕИ



РФП-ГРУБА ПОДЕЛБА

ПРЕСИНАПТИЧКИ РАДИОЛИГАНДИ

СПЕКТ

ПЕТ

^{18}F DOPA

^{11}C DOPA

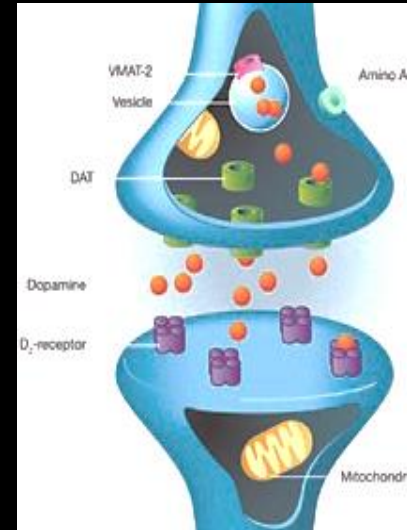
DAT

CIT

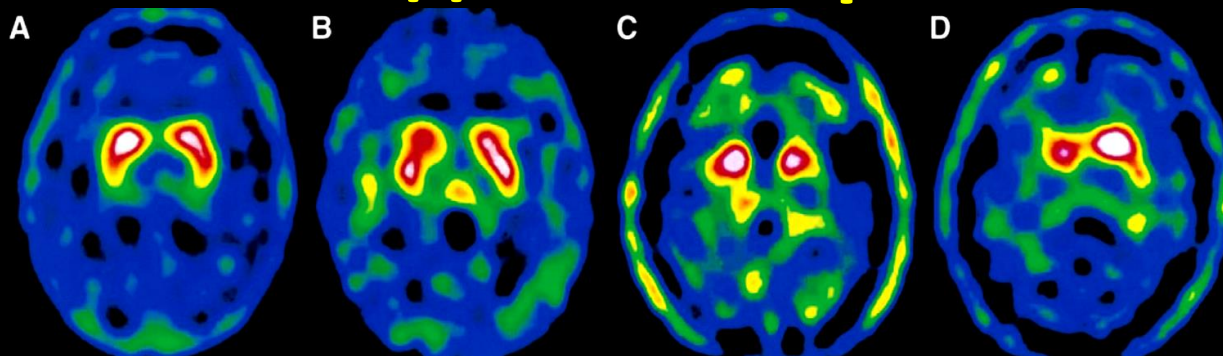
VMAT-2 ЗА ДОПАМИНЕРГИЧНИ ЗАВРШЕТОЦИ

ПОСТСИНАПТИЧКИ РАДИОЛИГАНДИ

D2 РЕЦЕПТОРНИ ЛИГАНДИ



Сликање на пред и пост синаптичките компоненти на допаминергичниот систем



Нигростријатална дегенерација во функција на време
[¹¹C]DASB MRI

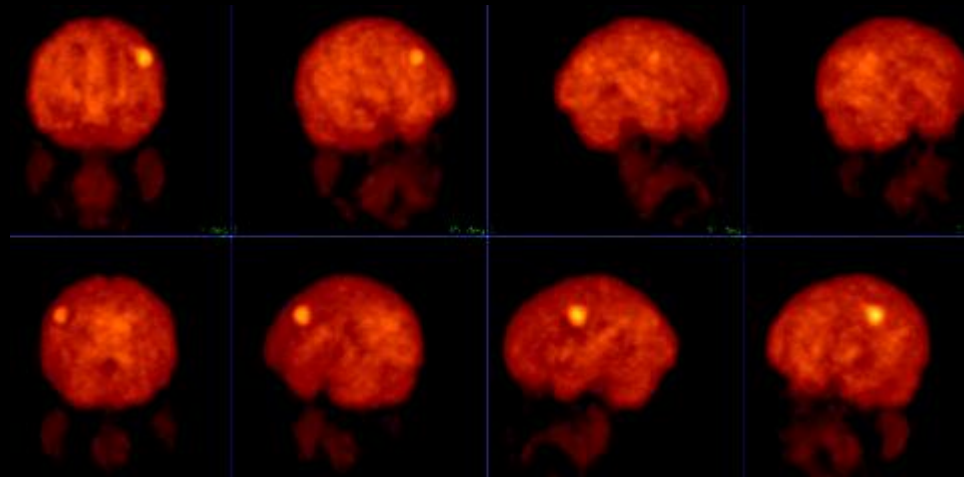


Сликовен приказ на серотонински транспортер

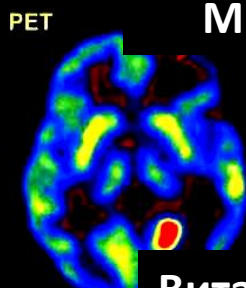
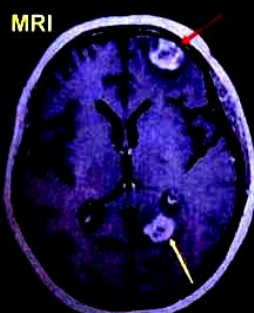
Проценка на мозочни тумори

FDG-PET

Детекција на "high-grade" глиоми: 90-95% точност, дефинирање на екстензија и степен на малигност, одговор на терапија, диференцирање на вијабилен тумор од радијациона некроза
оценка на биологијата на мозочните тумори



Структура/функција



Мртво ткиво

Витална мс

Која лезија е витална?

^{11}C -MET

протеинската ту синтеза

"low-grade" мозочни тумори

МОЗОЧНА ДИСФУНКЦИЈА КАЈ ДЕЦА И ВОЗРАСНИ

- ДЕПРЕСИЈА
- АУТИЗАМ
- БИПОЛАРНА ПАТОЛОГИЈА
- ШИЗОФРЕНИЈА
- КАТАТОНИЈА

Радиоизотопна цистернографија

ЦИРКУЛАЦИЈА НА ЛИКВОР

ИНЕРТЕН РАДИОТРАСЕР
СУБАРАХНОИДАЛНО
сликање

ИНТРАЦЕРЕБРАЛЕН
ПРОСТОР



Luschka

+ *

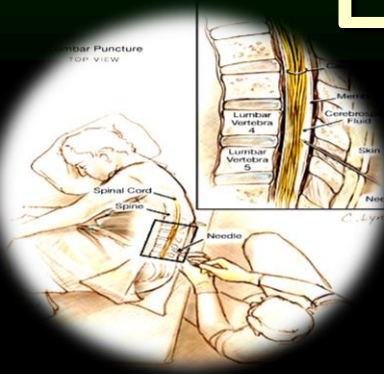
Magendie



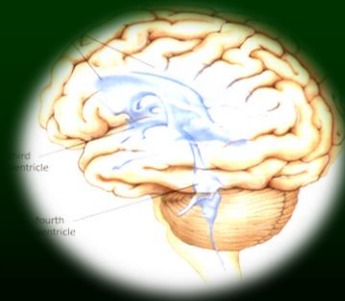
ПЕРИСПИНАЛЕН
СУБАРАХНОИДАЛЕН
ПРОСТОР

Планарно; SPECT

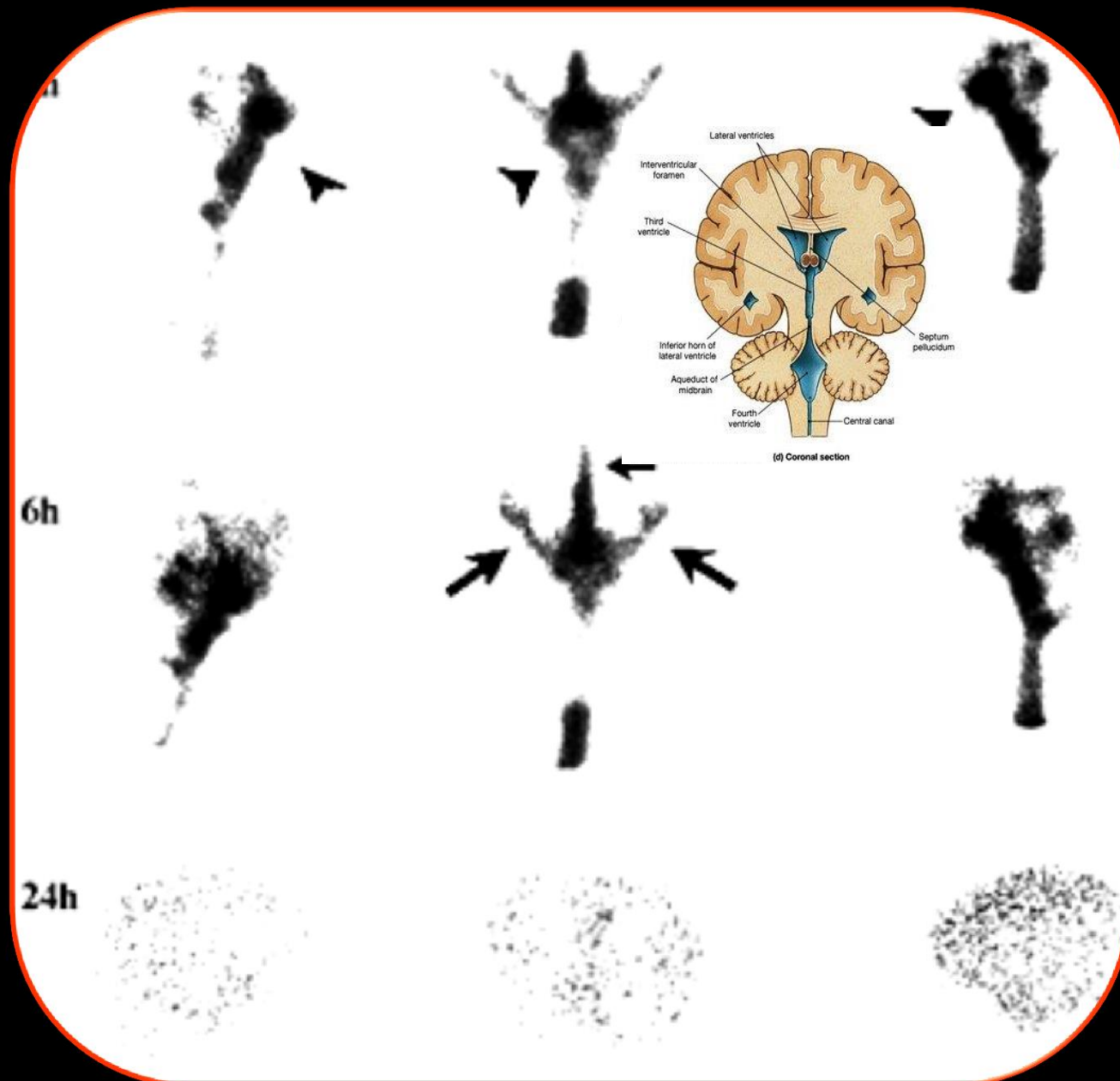
1, 4, 12, 24, 48^h
AP, PA, DL, LL



99mTc (¹¹¹In) – DTPA
2,8 дена



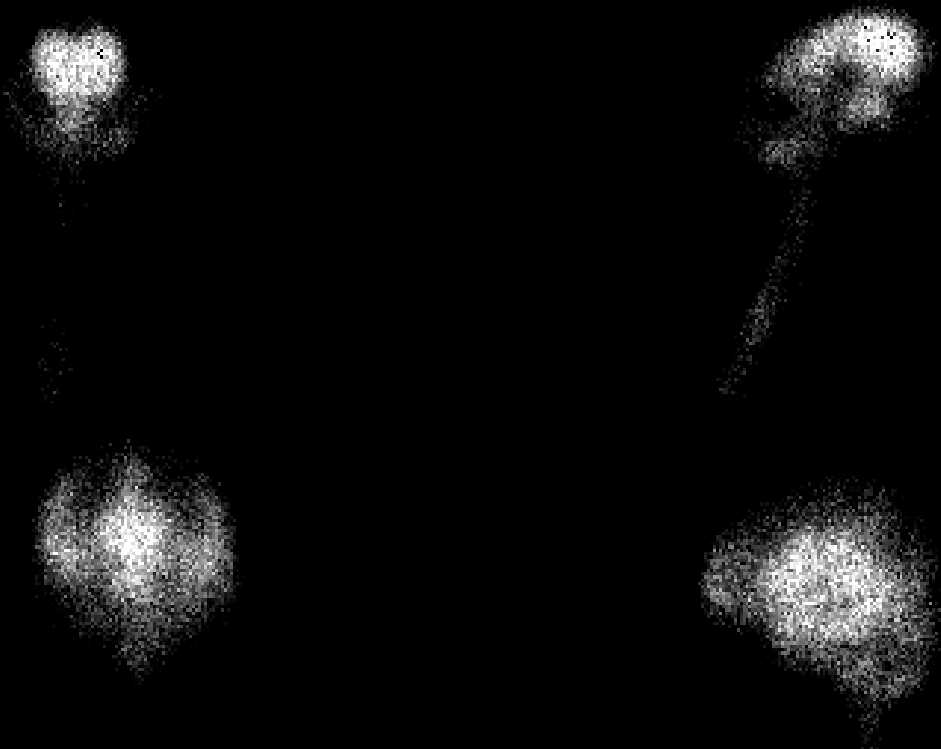
Силвијусови и интерхемисферични фисури



ИНДИКАЦИИ

- хидроцефалус
- фокални аномалии
- ликворна фистула
- шант

КОМУНИКАНТЕН ХИДРОЦЕФАЛУС СО КОМПЛЕТЕН И НЕКОМПЛЕТЕН ЗАСТОЈ

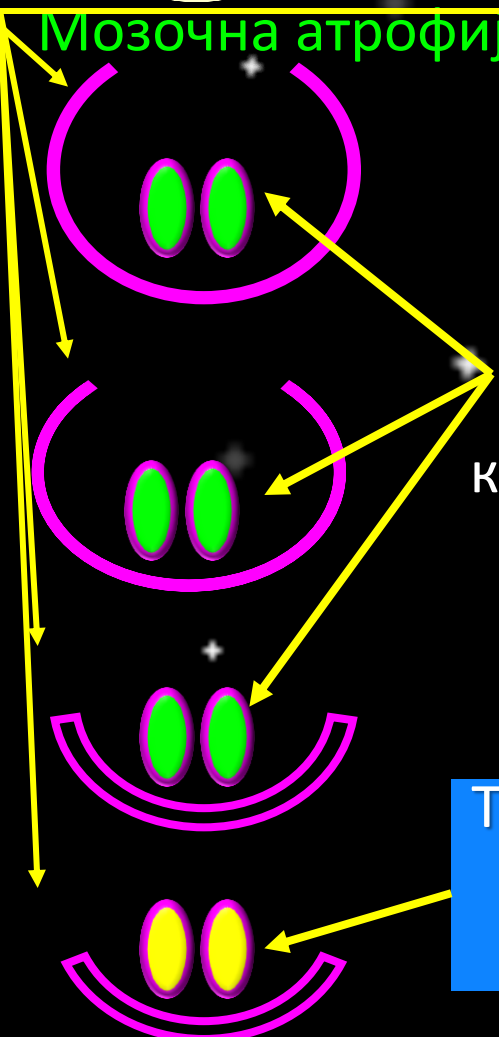




Евалуација на хидроцефалус

нормально

Мозочна атрофija

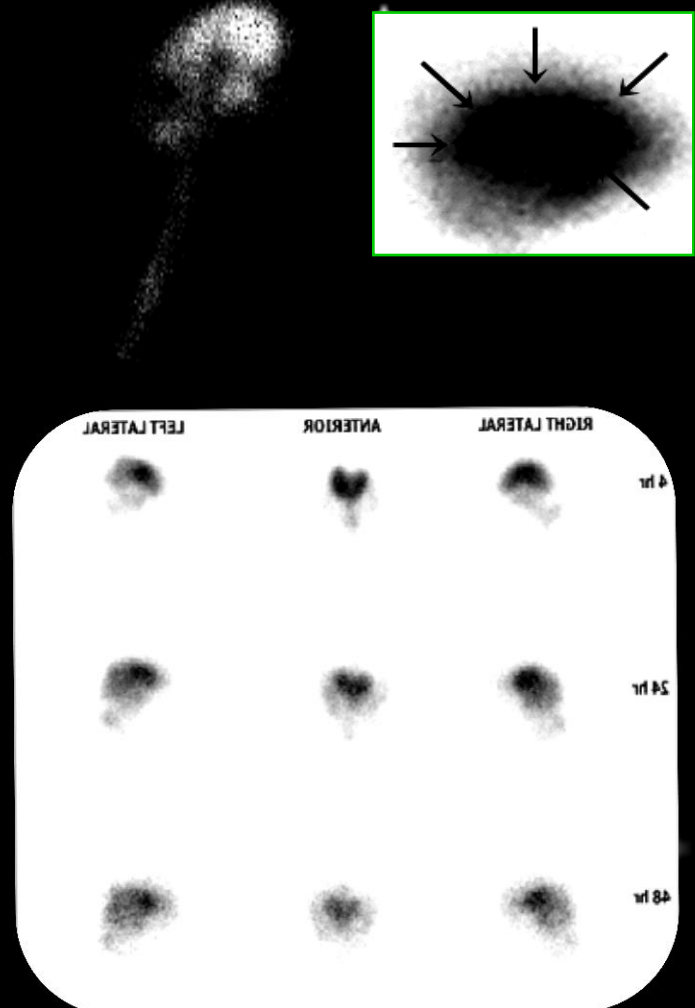


транзиторен коморен рефлукс

Компензиран хидроцефалус

Траен коморен рефлукс

Декомпензиран хидроцефалус



шантосцинтиграфија

Латерални комори

Трета
комора

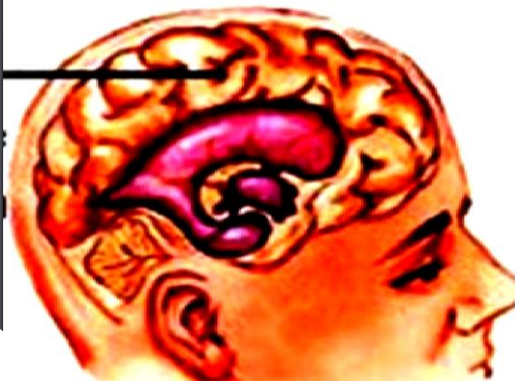


Систем за
дерирација

Четврта
комора

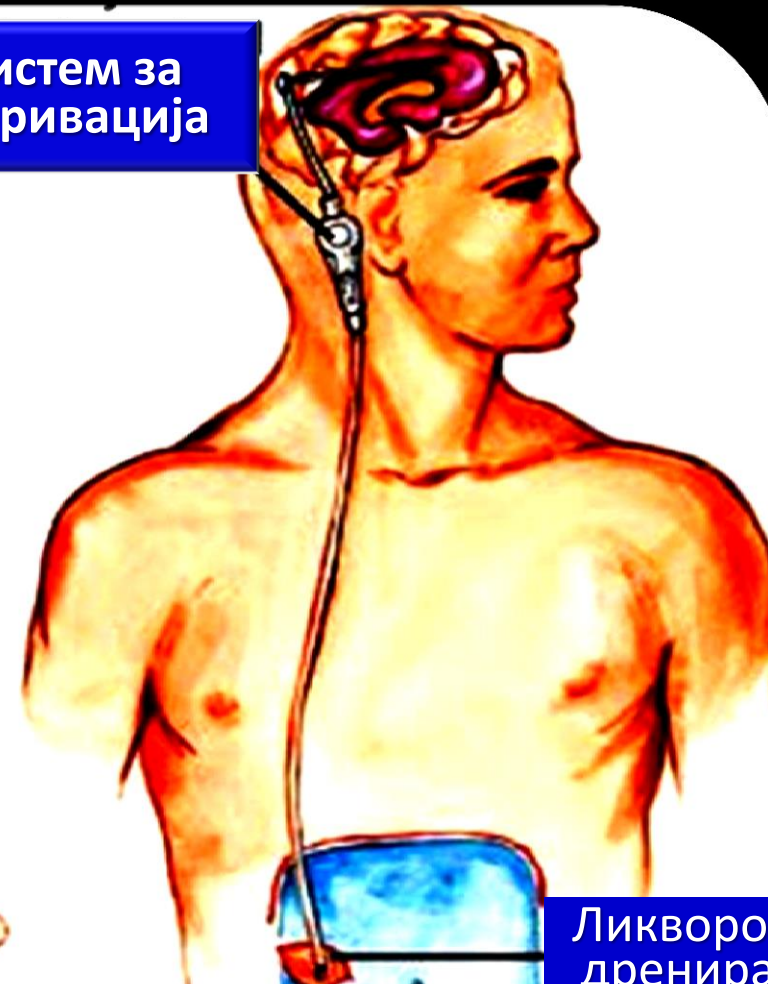
нормално

Компресија
на мозок
заради
течност во
коморите



Хидроцефалус

Ликворот се
дренира во
перитонеум





КОМОРА

ШАНТ

КАТЕТЕР

ТЕК НА ЛЦС

ПЕРИТОНЕУМ

Шантосцинтиграфија со ^{99m}Tc -МАА

По ињектирање во резервоар

резервоар

По пумпање на резервоарот

интракранијален
крак



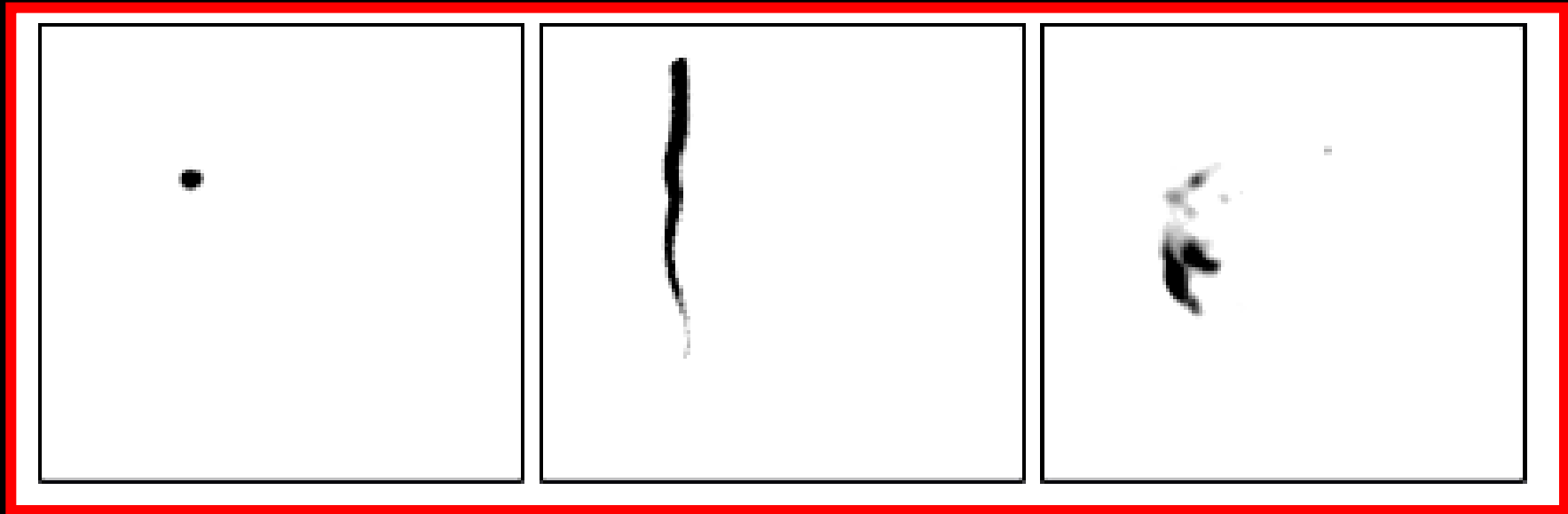
Обструиран одводен крак

Коморен рефлукс

• Вентрикулоперитонеален шантограм

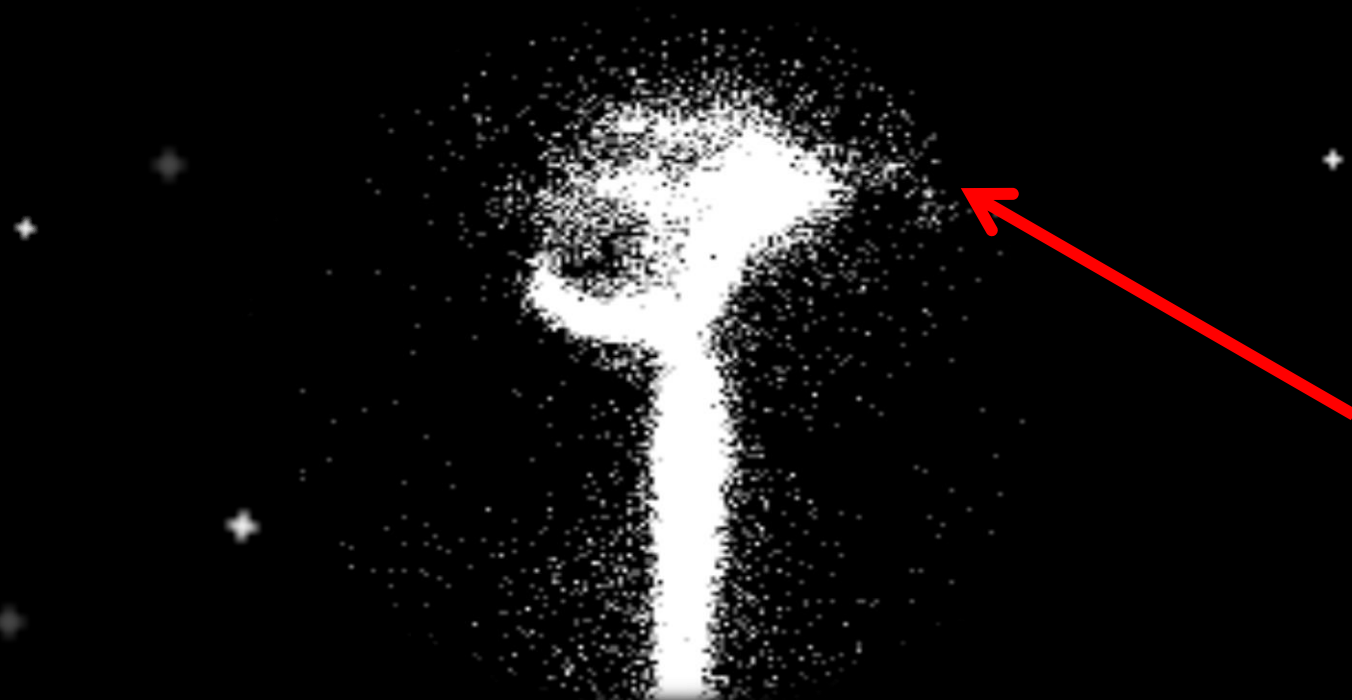
Апликација во субкутан
резервоар

Заради хидроцефалус констатиран со NMR на мозокот десно темпоропариетално е поставена Pudens-валвула. Менингит на 2 год. возраст



Опструкција на интракранијалниот –доводен крак на системот за деривација на ликвор

Сликовен приказ на ринореја- ликворна фистула



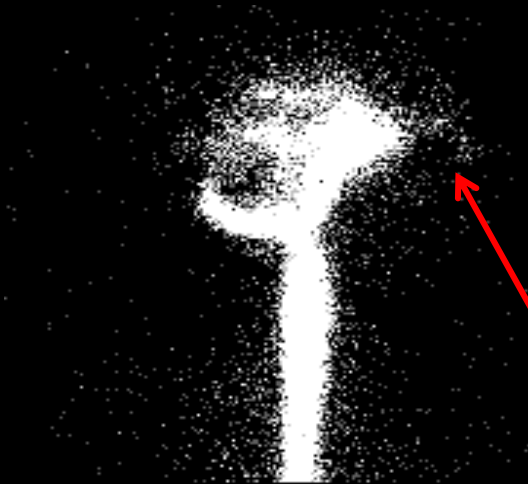
РНЦ е сензитивен и точен метод за детекција на ликвореја

30% од фрактурите на базата на черепот:
транзиторни, најчесто унилатерални **трауматски ЛФ**

нетрауматски ЛФ: тумори, инфекции, конгенитални
малформации

РИНОРЕЈА-ликоворна фистула

Мерење на радиоактивност во штрајфни



Материјал кој апсорбира во носни или ушни канали

- Радиоактивност во крв штрајфна / плазма $> 1,5$

Дополнителна литература:

- Abdelhamid H. Elgazzar (Ed.)
**The Pathophysiologic Basis
of Nuclear Medicine**
- Henry N. Wagner, Jr
**Brain Imaging:
The Chemistry of Mental Activity**
- Rudi A.J.O. Dierckx, Andreas Otte
Erik F.J. de Vries, Aren van Waarde
Editors
Paul G.M. Luiten
Guest Editor
**PET and SPECT of Neurobiological
Systems**
- Daniel H.S. Silverman
**PET in the Evaluation of Alzheimer's
Disease and Related Disorders**



БЛАГОДАРАМ